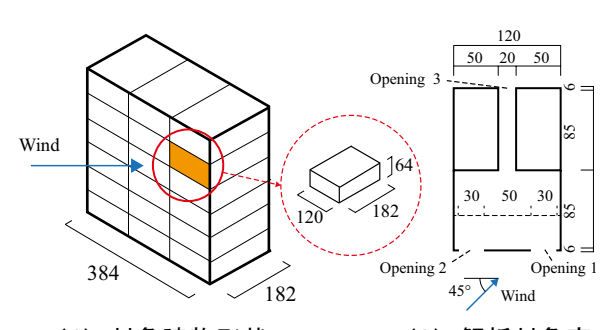
LES を用いた領域分割法による室内の通風気流解析法に関する研究 (その1)集合住宅の一室を対象とした基本検討

正会員 〇 Hoang Minh Hung*1 同 小林知広*2 同 山中俊夫*3

4. 環境工学 - 12. 空気流動基礎 - c. 室内気流の数値流体 (CFD) 解析手法 CFD LES 通風 領域分割法 局所相似モデル

1. はじめに

計算機性能の向上により通風分野の研究でもLarge Eddy Simulation (LES)の利用が近年見られる。しかし、通風解析は一般に建物内外を同時に解析する必要がある。LES は計算負荷が高いために様々な条件でケーススタディを実施するには膨大な時間を要し、精度を保ちながら計算負荷を抑える手法が必要である。そこで本研究では倉渕ら¹⁾が室内のみを計算領域としてRANSで実施した「領域分割法」をLESで適用し、建物内外を同時に解析する「全域計算」の結果と比較する。本報では倉渕ら¹⁾の局所相似モデルによる流量係数補正の適用および流入風向のみ考慮することの有無をパラメータとし、nLDK型の集合住宅の一室を想定した室を対象に検討を行った結果について報告する。



(1) 対象建物形状 図 1 対象建物

形状 (2)解析対象室 |1 対象建物モデル

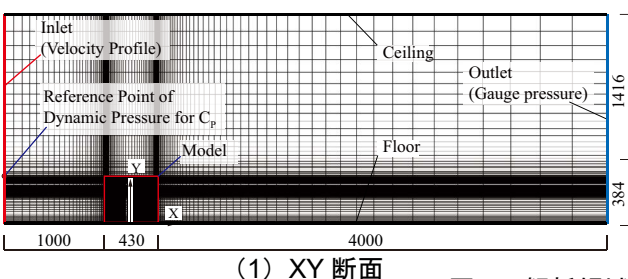


図2 解析領域とメッシュ図

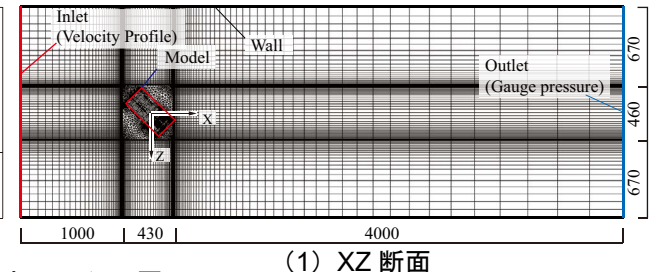
2. 解析概要

2.1 室内外同時計算(全域計算: Whole Domain)

本報の解析対象を**図1**に示す。当該モデルは丹原ら 2 が室内通風気流性状を解析したモデルに基づいており、風洞実験を模擬して室モデル内外を同時に解析する CFD 解析を LES で行った (以降、全域計算)。解析領域は $1,800 \times 1,800 \times 5,430$ mm とし、解析対象は外寸 $384 \times 182 \times 384$ mm の矩形の建物モデルで、3 住戸 6 層の計 18 住戸が含まれる建物を想定した。本報では 5 層目の 1 室を対象とし、この室のみ開口を開放している状況とした。室モデルのリビングを想定する面には 30×40 mm の開口 1 と開口 2、対面には 20×40 mm の開口 3 を設けた。アプローチフロー風向はリビング面に対して 45° と

表1 CFD 解析の概要

Analysis Method		Whole Domain	Domain Decomposition Technique (Method 1, Method 2, Method 3)
Turbulence Model		Large Eddy Simulation (Smagorinsky Model, Cs = 0.1)	
CFD Code		Fluent 17.0	
Algolithm		SIMPLE	
Discretization Scheme for Advection Term		Central Differencing	
Time Step		0.0005 [s]	
Transition Term		2,000 time step (=1.0 [s])	
Main Calculation Term		22,000 time step (=11.0 [s])	
Boundary Condition	Inlet	1/4.5 Power law (Smirnov's method)	Based on the instantaneous velocity calculated by the
	Outlet	Gauge Pressure :0 [Pa]	procedure shown in Fig.6
	Walls	Two Layer Model of Linear-Log Law	
Total Number of Cells		2,132,437	38,541
Calculation Time		About 216 [h]	About 28 [h]



Analysis of Indoor Cross-Ventilation Flow using Domain Decomposition Technique by LES (Part 1) Basic Investigation for a room in an Apartment Building

した。解析領域の概要を図 2 に、CFD 解析手法を表 1 に示す。SST k- ω モデルの結果を初期条件として LES の計算を開始した。計算時間間隔は 1/2,000 s、計算開始後の 2,000 time step (=1.0 s) を LES への移行期間としてその後の 11 s を本計算とした。LES の流入境界は図 3 に示す境界層流に Smirnov ら 3 の手法を適用して変動風を与えた。本計算の全 time step で開口面上の 210 点(図 4)において瞬時風速 3 成分をモニターした。また、本研究の領域分割法による室内気流解析精度の検証のため、図 5 に示す室内 45 点でも同様に瞬時風速をモニターした。

2.2 局所相似モデルを用いた領域分割法 (Method 1)

倉渕ら¹⁾の領域分割法を LES に適用した計算 (Method 1) の手順を図 6 に示す。まず図 1 の解析 領域でシールモデルで屋外気流解析を行い、開口想 定位置の瞬時壁面静圧、開口中心から外側に 5 mm の位置の壁面接線方向の瞬時風速 2 成分を取得した (STEP 1)。これを用いて開口 1,2 では局所相似モデルにより流量係数を算出し、リビングから開口 3 までの流路の有効開口面積はダクトの急縮小と摩擦損失係数 (λ=0.032) と開口 3 からの流出を考慮した固定値を用いて各 time step の開口ごとの瞬時

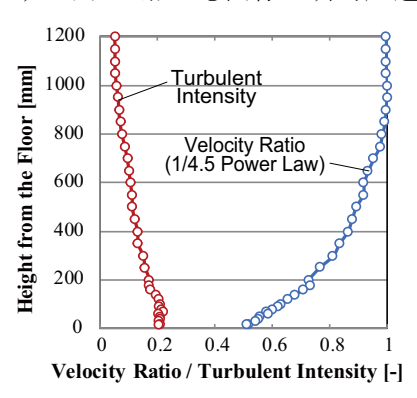
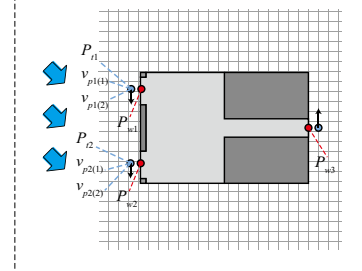


図3 アプローチフロー風速と 乱れの強さの鉛直分布

STEP 1 : Sealed Building Model Analysis to obtain instantaneous value for P_{w} and P_{t}

- External flow field is analyzed by RANS calculation, where a building is simulated as a sealed model, and the result is used as initial condition for LES

 Turbulence model is switched to LES, and preliminary calculation is run (0.0005 [s/step] × 2000 [step] = 1.0 [s]).
- Main LES calculation for the sealed model is run (0.0005 [s/step] × 22,000 [step] = 11.0 [s])



- P_{wi} : Instantaneous wind pressure [Pa];
- P_n: Instantaneous tangential dynamic pressure [Pa]; assumed to be dynamic pressure of velocity magnitude in the vicinity of a wall
- $v_{pi(1)}$, $v_{pi(2)}$: Two components of velocity parallel to the wall [m/s]

End

Obtain instantaneous value for P_{ui} , P_{g_i} , $v_{p(1)}$, and $v_{p(2)}$ in time series throughout the main calculation period (11.0 [s]).

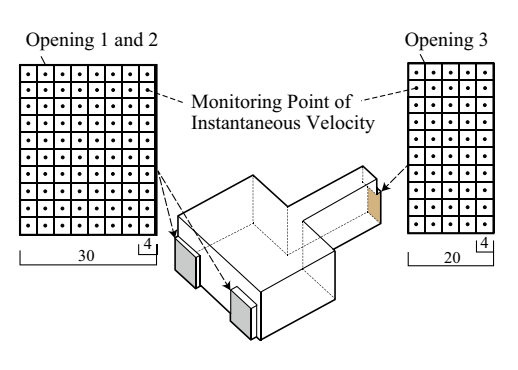
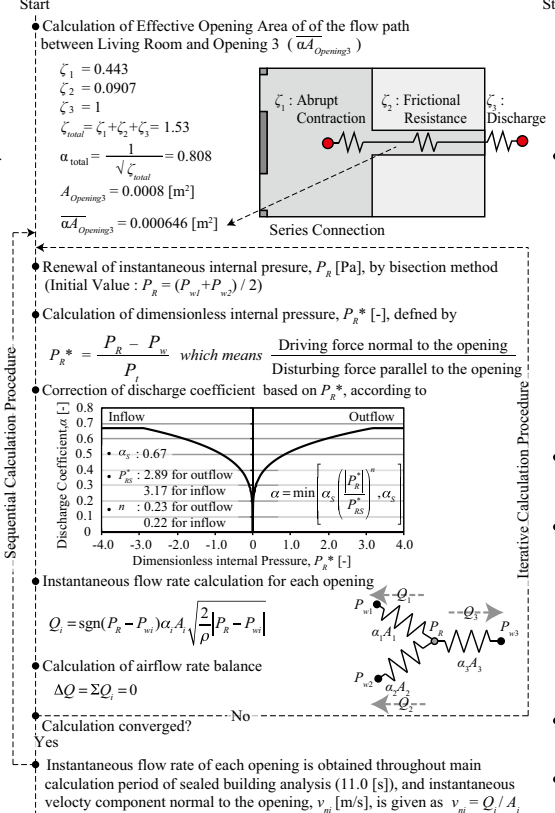


図4 全域計算における開口面上の 瞬時風速のモニター点

STEP 2 : Calculation of Instantaneous Flow Rate of Opening using Local Dynamic Similarity Model (LDSM)



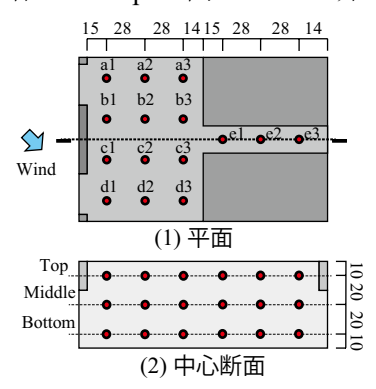


図5 室内の風速モニター点

STEP 3 : Indoor Flow Analysis using LES with Domain Decomposition Technique

Indoor calculation domain is simulated where

opening is inlet/outlet boundary.

Inlet boundary

Outlet boundary

Initial condition is calculated by RANS model of which boundary condition is obtained based on RANS result of STEP 1 and STEP 2.

- Turbulence model is switched to LES

 For both inlet and outlet boundary condition,
 three components of instantaneous velocity are
 given as followings;
- Velocity component normal to the opening; v_{n1} obtained from STEP 2
- Two velocity components parallel to the opening $v_{p1(1)}$ and $v_{p1(2)}$ obtained from STEP 1
- Preliminary LES calculation for indoor flow is run $(0.0005 [s/step] \times 2000 [step] = 1.0 [s])$.
- Main LES calculation for indoor airflow is run $(0.0005 [s] \times 22,000 [step] = 11.0 [s])$.

図 6 局所相似モデルと領域分割法を用いた非定常計算プロセス

通風量を算出した(STEP 2)。次に、算出した通風 量を開口面積で除した開口面法線方向瞬時風速と、 STEP 1 の接線方向の瞬時風速 2 成分を各 time step 流入境界として室内気流を解析した(STEP 3)。初 期条件は $SST k-\omega$ モデルの結果とし、計算時間間隔、 計算ステップ数は前節の全域計算と同様とした。

2.3 流入風向のみを考慮した領域分割法 (Method 2)

簡易な領域分割法として全ての開口の流量係数 を固定値とし、流入出風向のみ屋外解析の接線方 向風速に基づいて与える手法でも解析を行った (Method 2)。ここでは開口1と開口2の流量係数 は 0.65 として瞬時風圧とオリフィス式から瞬時風 量を算出し、開口面法線方向の瞬時風速を与えた。 その他の計算手順は前節の Method 1 と同様とした。

2.4 開口法線方向に流入する領域分割法 (Method 3)

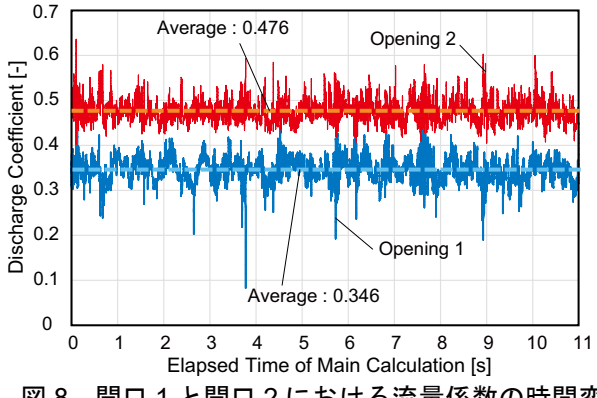
最も簡易な領域分割法として、屋外解析の瞬時 風圧とオリフィス式による瞬時風量に基づき開口 面法線方向の瞬時風速のみを境界条件とする解析 も行った (Method 3)。なお、流量係数が固定のた めに瞬時流入出風量は Method 2 と完全に一致する。

3. 結果と考察

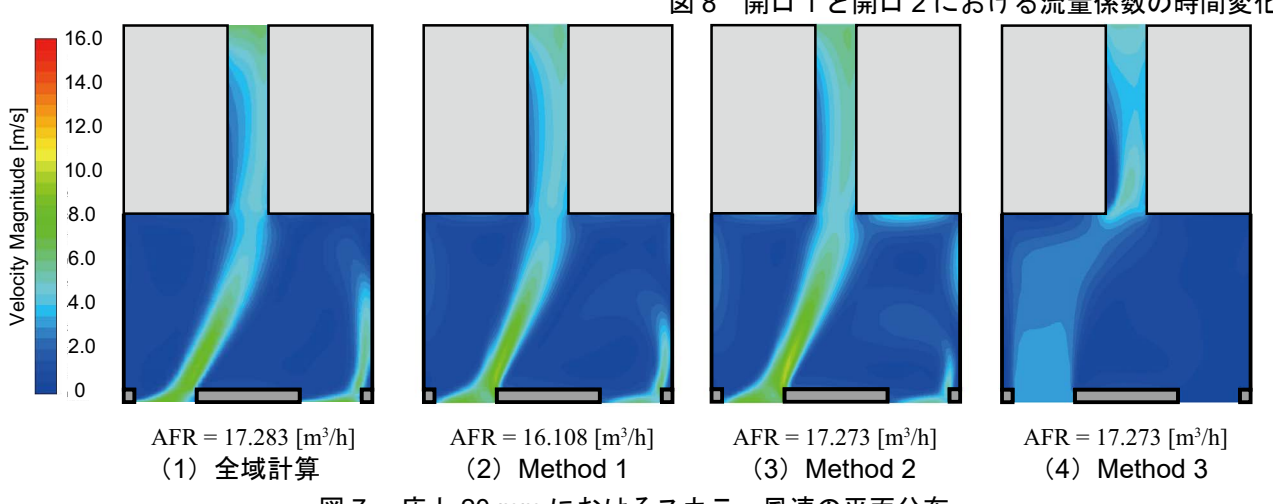
全域計算と3種の領域分割法の計4種の手法で、 通風量、室内スカラー風速とその標準偏差を比較 する。全域計算の通風量については、図4の開口 面上のモニター点風速から得られる瞬時流入風量 合計と流出風量合計を全 time step で求め、その絶 対値の平均値を時間平均することで通風量(AFR) 4)として算出した。領域分割法の通風量は図6の STEP 2 で換気計算から得られた値とする。

図7に各手法でのスカラー風速の時間平均値の 分布を通風量(AFR)とともに示す。風速分布から、 Method 1 と Method 2 の結果は定性的に全域計算の 結果と良く一致し、Method 3 は流入角を再現しな いため気流性状が大きく異なる。通風量に着目す ると、Method 1 では流量係数を補正しているため に Method 2,3 より小さくなり、全域計算と比較し ても小さいが、これは流入風向だけでなく室内で の動圧残存 5 の影響もあると思われる。図8と図9 に Method 1 の流量係数と、屋外解析から得られた 各開口部の風圧係数の時間変化を示す。 開口1では 流量係数と風圧係数がともに小さく、建物端部付 近で接線方向動圧が大きいことの影響が出ている。

図 10 に各モニター点での平均風速と標準偏差を 示す。Method 3 では全域計算の傾向を再現できて いない一方で、Method 1 と 2 は概ね全域計算と同 様の傾向が得られた。このため領域分割法でも比 較的良く室内気流を予測できると言えるが、b2 と b3 点については風速を過大評価している。これら は通風輪道内に位置しており、流入風向のわずか な差と風量自体の予測精度が原因と思われる。



開口1と開口2における流量係数の時間変化



床上 20 mm におけるスカラー風速の平面分布

5. まとめ

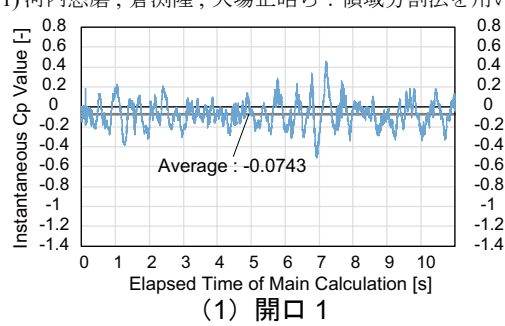
本報では簡易な集合住宅モデルを対象に領域分 割法を適用した LES 計算を実施し、全域計算との 比較を行った。結果として、流入風向を考慮する領 域分割法で比較的精度良く予測することができた。 今後は異なる風向と建物条件でも検討を行う。

「謝辞]

本研究の推進にあたって多大なるご尽力を賜った堂本浩規氏(研 究当時大阪市立大学大学院生)に感謝の意を表します。

「参考文献]

1) 河内悠磨, 倉渕隆, 大場正昭ら: 領域分割法を用いた数値シミュ



レーションによる通風室内気流予測に関する研究(第1報),空 気調和・衛生工学会学術講演論文集, D-21, pp1043-1046, 2009.9 2) 丹原千里, 甲谷寿史, 山中俊夫ら:集合住宅の nLDK 型住戸にお

- ける通風量予測に関する研究 (その 3)PIV 測定と CFD 解析によ る室内気流性状の比較,空気調和・衛生工学会大会学術講演論 文集,第4巻,pp.105-108,2014.9
- 3) A. Smirnov, S. Shi, I. Celik: Random Flow Generation Technique for Large Eddy Simulations and Particle-Dynamics Modeling, Journal of Fluids Engineering, Vol.123, Issue2, pp359-371, 2001.6
- 4) 堂本浩規, 小林知広, 梅宮典子: LES による領域分割法を用いた 室内通風気流解析法に関する研究(その1)2開口を有する単室 モデルを対象とした検証,空気調和・衛生工学会近畿支部,学術 研究発表会論文集,2020.3(投稿中)
- 5) 石原正雄:建築換気設計,朝倉書店,1969

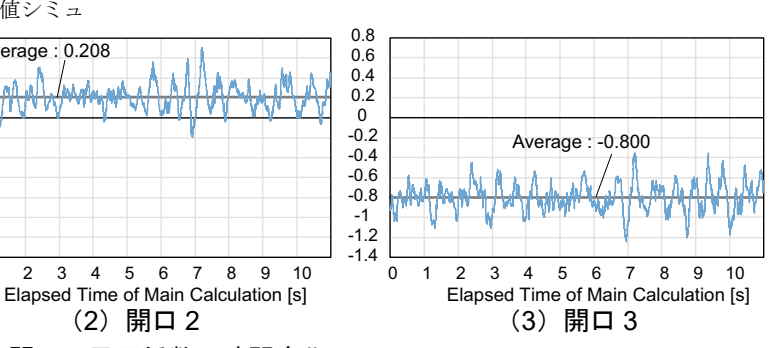


図 9 各開口の風圧係数の時間変化

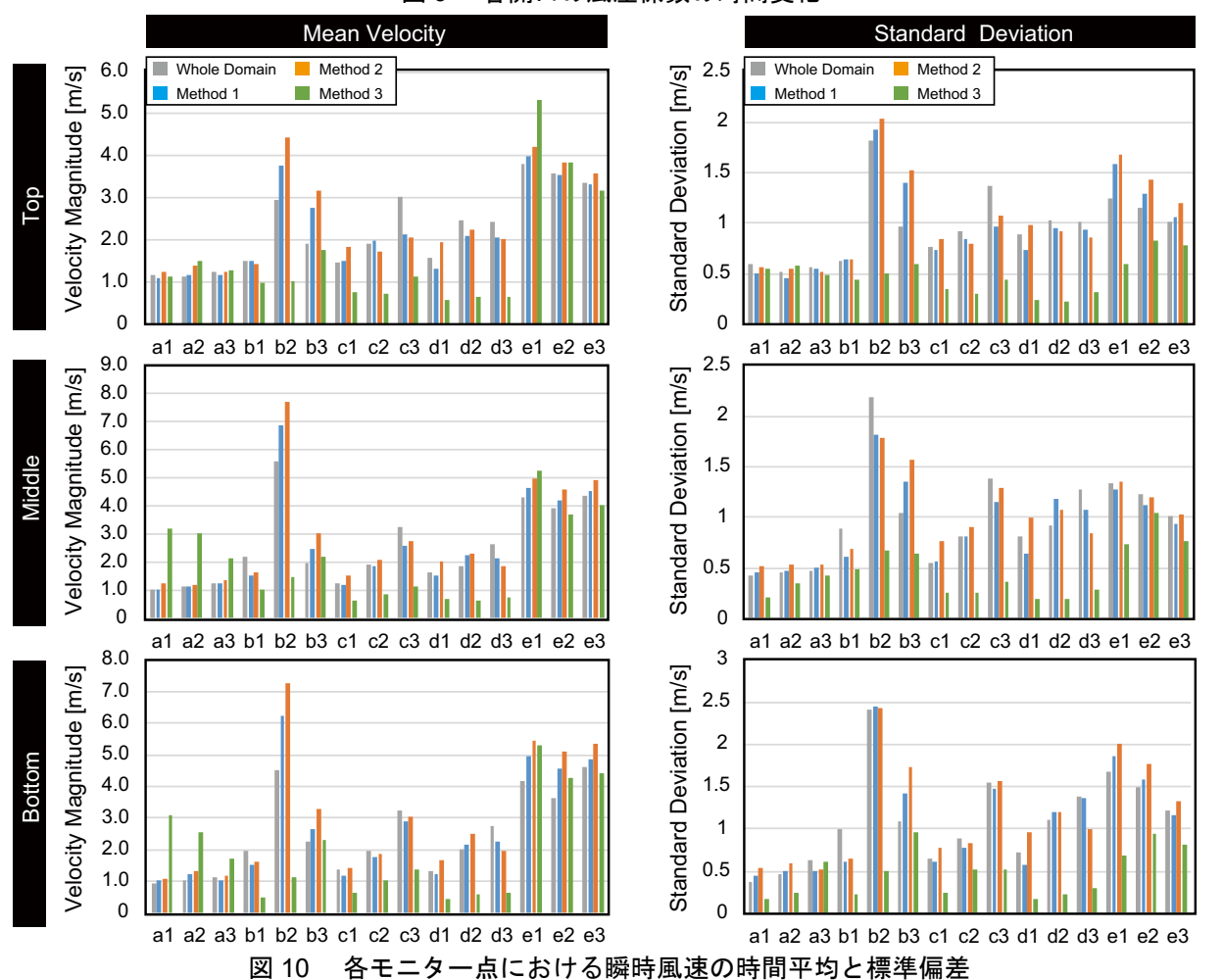
(2) 開口2

Average: 0.208

3 4 5 6 7

2

0



- *1大阪大学大学院工学研究科地球総合工学専攻
- * 2 大阪大学大学院工学研究科地球総合工学専攻
- *3大阪大学大学院工学研究科地球総合工学専攻 教授 博士(工学)
- 博士前期課程
- 准教授 博士(工学)